#### В.Б.Нерсисян

# Расчет токов в проводящем немагнитном листе при его движении методом сеток

(Представлено академиком Г.Л. Арешяном 16/XI 2001)

Определение параметров движущегося проводящего немагнитного листа с помощью электромагнитных преобразователей связано с расчетом токов в листе на основании решений уравнений электромагнитного поля при соответствующих заданных граничных условиях [1]. Однако известные методы сложны с точки зрения практического применения и не обеспечивают достаточной наглядности контуров прохождения токов в листе. Последнее обстоятельство очень важно при разработке высокочувствительных электромагнитных преобразователей толщины и скорости движущегося листа.

Целью настоящей работы являлся поиск упрощенного метода расчета токов в листе и контуров их замыкания для математической обработки электромагнитных преобразователей, доступный для инженеров-проектировщиков. При этом полученное решение лишь немного отличалось от точного.

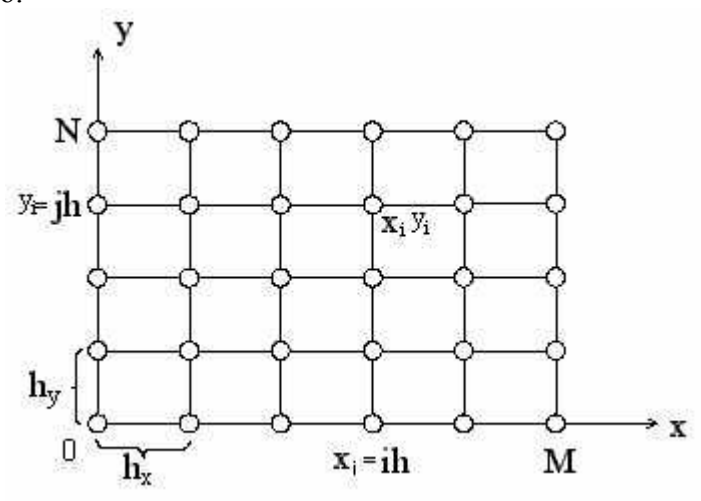


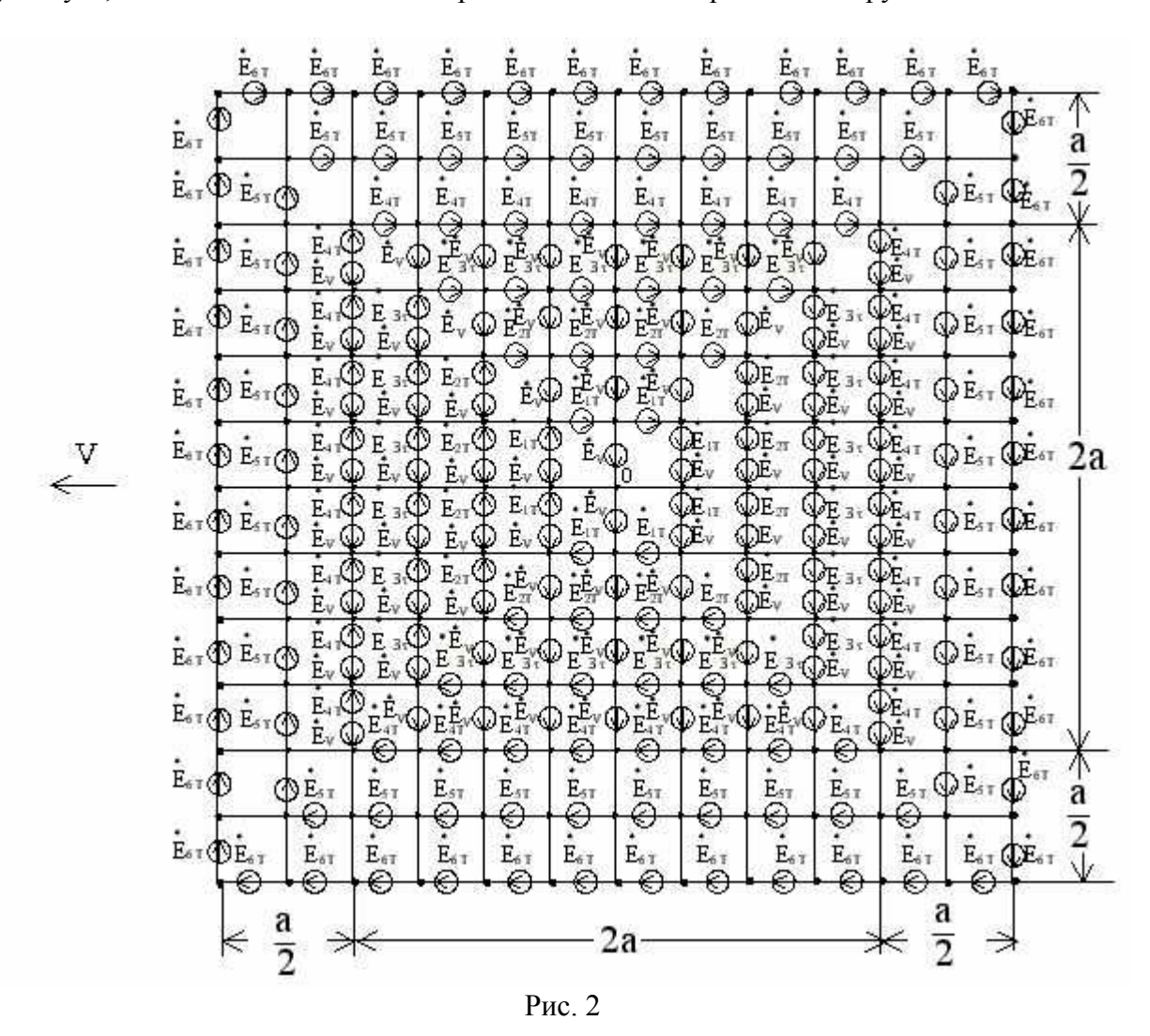
Рис. 1

Одним из методов расчета токов в проводящем листе, движущемся со скоростью V, является сеточный метод. Суть его состоит в том, что область проводящего изотропного листа, расположенного в воздушном зазоре преобразователя, представляется в виде прямоугольника  $\vec{D} = \{0 \le x \le M, \ 0 \le y \le N\}$ . Разобьем отрезки [O, M] и [O, N] соответственно на  $N_1$  и  $N_2$  части (рис.1). Пусть  $h_x = [M/(N_1)] \ h_y = [N/(N_2)]$ .

Через точки деления проведем прямые, параллельные соответствующим осям. В результате пересечения этих прямых получим узлы  $(x_i, y_i)$ , которые и образуют сетку. Расстояние между соседними узлами  $x_i - x_{i-1} = h_x = [1/(N_1)]$  и  $y_i - y_{i-1} = h_y = [1/(N_2)]$  назовем шагами сетки по направлениям x и у соответственно. Так как зона контроля преобразователя имеет квадратную площадь, то целесообразно применять постоянный шаг по каждому из направлений, т. е. равномерную сетку.

Каждая сетка является схемой замещения проводящего листа с идентичной площадью. Поэтому ветви схемы замещения одинаковы и содержат последовательно соединенные активные сопротивление и индуктивность. В схеме замещения емкостный элемент

отсутствует, так как токи смещения в проводящем листе в расчет не берутся.



Выбранная схема замещения обоснована экспериментально путем измерения вносимых сопротивлений эталонных образцов листов различной толщины. Осуществим расчет токов в ветвях сетки при OM = ON = 3a,  $N_1 = N_2 = 12$ ,  $h_x = h_y = [3a/12]$ , при этом ветви сетки представлены как равные комплексные сопротивления.

В результате получим сетку, показанную на рис.2, которая состоит из 144 контуров. С целью упрощения схемы комплексные сопротивления ветвей не показаны. Приведенная сетка, кроме рабочей площади  $2a\times 2a$ , находящейся под полюсным наконечником преобразователя, содержит участок, со всех сторон расширенный на величину [а/2]. Это делается для уточнения контуров замыкания токов в проводящем листе при его движении со скоростью V.

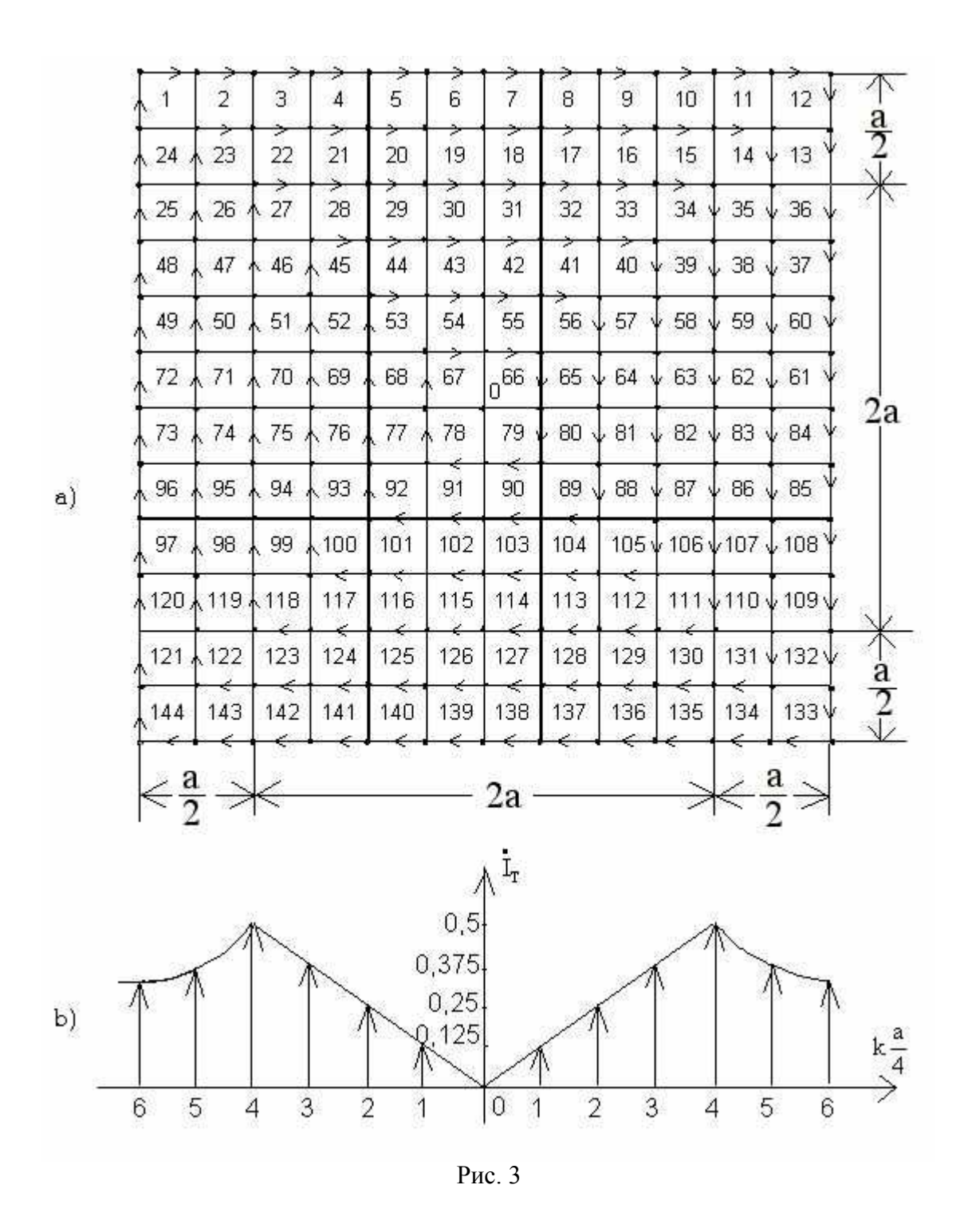
Предполагается, что индукция под полюсным наконечником площадью  $2a \times 2a$  однородна и изменяется по синусоидальному закону, а в расширенном участке отсутствует. Эти допущения делаются исходя из конструктивных особенностей электромагнитного преобразователя броневой конструкции [2].

При перемещении сетки, показанной на рис.2, со скоростью V происходит изменение потокосцепления и в сетке возникает два вида ЭДС: трансформаторная  $\dot{\mathbf{E}}_{T}$ и движения  $\dot{\mathbf{E}}_{V}$ . Для определения ЭДС трансформации воспользуемся уравнением электромагнитной индукции  $\oint \vec{\mathbf{E}} \, d\vec{\mathbf{I}} = -[(d\Phi)/dt]$  Максвелла для шести замкнутных контуров с центром O (рис.2). Результаты расчетов приведены в таблице.

Номера контуров от центра О	1	2	3	4	5	6
ЭДС контуров	Ė <sub>1T</sub>	Ė <sub>2T</sub>	Ė <sub>3T</sub>	Ė <sub>4T</sub>	Ė <sub>ST</sub>	Ė <sub>6T</sub>
Величина ЭДС контура в	1 – j1	4 – j4	9 – j9	16 – j16	16 – j16	16 – j16
относительных единицах						
Величина ЭДС ветвей	0,125 -	0,25 -	0,375 -	0,5 -	0,4 -	0,333333 -
контура в			j0,375	j0,5		j0,333333
относительных						
единицах						

Направление ЭДС выбирается исходя из правила проходного винта. В ветвях сеток, находящихся под полюсными наконечниками (площадь  $2a\times2a$ ), поперечеными направлению движения V, возникают ЭДС движения  $\dot{\mathbf{E}}_{\mathbf{V}}$ , в то время как в ветвях, продольных направлению движения, они не возникают. Так как длины ветвей сеток одинаковы, а магнитная индукция в рассматриваемом участке однородна, то  $\dot{\mathbf{E}}_{\mathbf{V}}$  этих ветвей равны между собой. Их направление выбирается на основании правила правой руки. Здесь принято  $\dot{\mathbf{E}}_{\mathbf{V}} = 1$  в относительных единицах. При составлении схемы замещения сетки, показанной на рис.2, учтены направления  $\dot{\mathbf{E}}_{\mathbf{T}}$  и  $\dot{\mathbf{E}}_{\mathbf{V}}$ .

Определим токи в ветвях сетки на основании метода наложения.



Вначале найдем токи в ветвях сетки от ЭДС  $\dot{\mathbf{E}}_{\mathsf{T}}$ . Расчетную схему получим из рис. 2, учитывая, что  $\dot{\mathbf{E}}_{\mathsf{V}} = 0$ . Комплексные сопротивления отдельных ветвей сетки одинаковы и принимаются равными  $Z_0 = \mathbf{r}_0 + j\omega L_0 = \mathbf{l} + \mathbf{j}\mathbf{l}$  относительных единиц.

Для полученной схемы из 144 контуров составлены уравнения по контурным токам. Совместное их решение позволило получить токи в ветвях и закономерности распределения токов трансформаторного составляющего  $\mathbf{I}_{\mathbf{T}}$  контуров от центра к краям рассматриваемого участка  $\mathbf{k}[a/4]$  (где  $\mathbf{k}=1,2,3,4,5,6$  номера контуров рис. 3а, в).

Теперь определим составляющие токов в ветвях сетки, обусловленные  $\dot{\mathbf{E}}_{\mathtt{V}}$ . Расчетную схему также получим из рис. 2, учитывая, что  $\dot{\mathbf{E}}_{\mathtt{T}} = 0$ . Комплексные сопротивления ветвей исходной схемы заменяются активными сопротивлениями и приняты равными  $Z_0 = r_0 = 1$ 

относительных единиц.

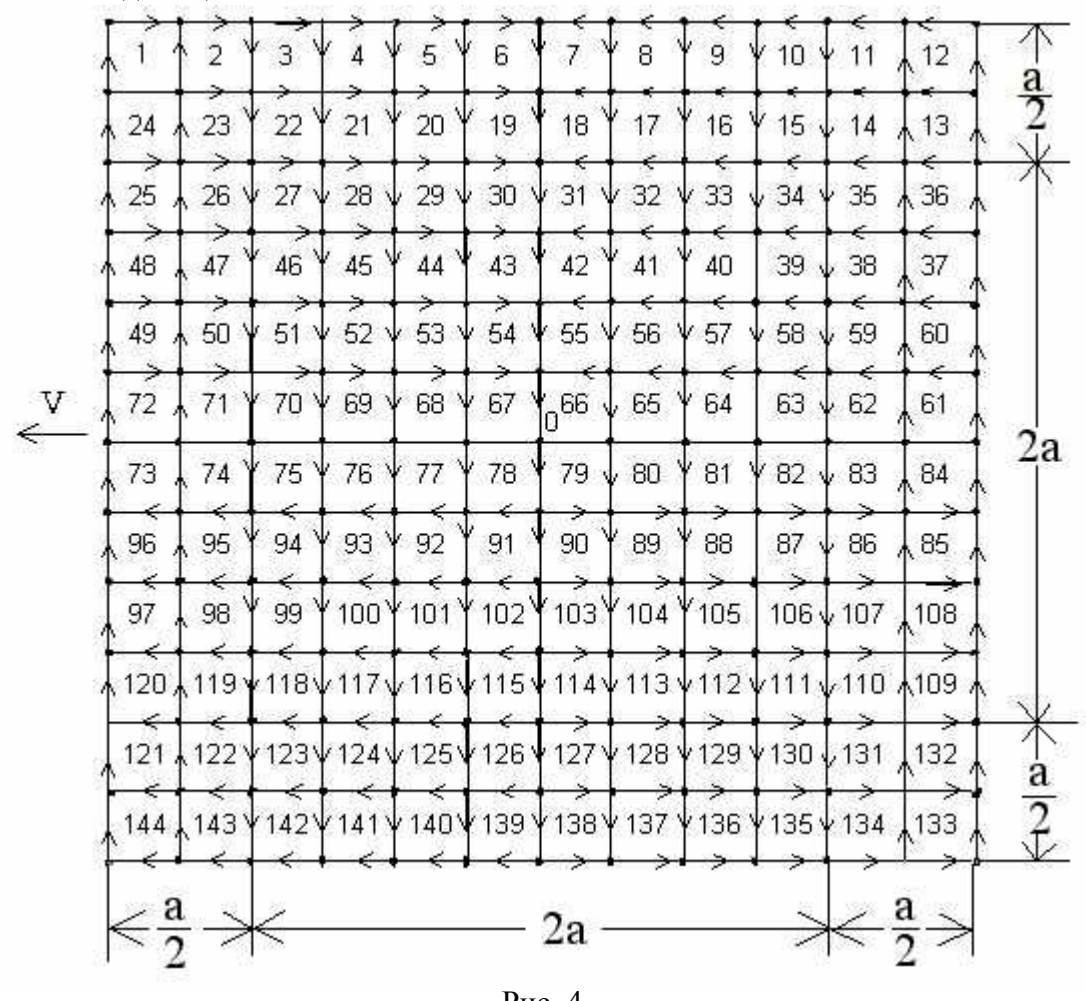


Рис. 4

Для полученной схемы из 144 контуров составлены уравнения по контурным токам. Совместное их решение позволило получить токи в ветвях, направления которых показаны на рис.4.

Определена магнитная индукция как для отдельных составляющих токов, так и для их алгебраической суммы. Установлена результирующая индукция в воздушном зазоре преобразователя.

Государственный инженерный университет Армении

### Литература

- 1. Шимони К. Теоретическая электротехника. М. Мир. 1964. 773 с.
- 2. Патент РФ N 1249313 Нерсисиян В. Б. Открытия. Изобретения. 1986. N 20.

#### Վ. Բ. Ներսիսյան

## Շարժվող ոչ ֆեռոմագնիսական հաղորդիչ թիթեղում հոսանքների որոշումը ցանցերի մեթոդով

Հետազոտվում են էլեկտրամագնիսական ձևափոխիչի օդային բացակում որոշակի արագությամբ շարժվող ոչ ֆեռոմագնիսական հաղորդիչ թիթեղում առաջած էլշու-ները և նրանցով պայմանավորված հոսանքները ցանցերի մեթոդով։

Ցանցերի առանձին Ճյուղերում առաջացած հոսանքները որոշվել են համաձայն վերադրման սկզբունքի, որպես հանրահաշվական գումար թիթեղի շարժումի և տրանս-ֆորմատորային բաղադրիչ հոսանքների։ Բերված են այդ հոսանքների փակման կոնտակտները ցանցերի Ճյուղերում։